

## АТМОСФЕРА СВЕРХГИГАНТА 6 Cas

### II. СКОРОСТИ ТУРБУЛЕНТНЫХ ДВИЖЕНИЙ, ЭЛЕКТРОННАЯ ПЛОТНОСТЬ И УСКОРЕНИЕ СИЛЫ ТЯЖЕСТИ

Г. И. Аббасов, С. К. Зейналов, Е. Л. Ченцов

По кривым роста и кривым корреляции эквивалентных ширин и полуширин линий найдены микротурбулентные скорости  $v_m$  в атмосфере 6 Cas на 17—18 августа 1969 г., которые составляют 14.8 км/сек. для Fe II, Si II и Mg II, 11.3 и 9.5 км/сек. соответственно для Ti II и Fe I. Полученные методом корреляции ширины линий макротурбулентные скорости имеют для всех указанных элементов близкие значения — в среднем около 27 км/сек. Выявлены временные изменения микротурбулентной скорости (для девяти дат в октябре 1964 г. и сентябре 1965 г.) по линиям Fe II —  $v_m$  изменяются от 14.4 до 19.0 км/сек.

Найдены по формуле Инглиса—Теллера и методом Унзольда величины логарифма электронной плотности, составляющие соответственно 11.7 и 12.3.

Из сопоставления наблюдаемых профиля и эквивалентной ширины линии H<sub>γ</sub> с теоретическими определено значение логарифма ускорения силы тяжести (0.96), уступающее значению, полученному по массе и радиусу 6 Cas (1.24).

Показано, что ряд параметров 6 Cas, характеризующих спектроскопические проявления нестационарности атмосферы, превосходит по величине таковые у сверхгигантов спектрального класса A более низкой светимости.

From the curves of growth and from those of correlation of equivalent widths and half-widths of lines the microturbulent velocities  $v_m$  are found in the atmosphere of 6 Cas for 17—18 August 1969, which are 15.0 km/s for Fe II, Si II, and Mg II (the deepest atmospheric layers accessible for spectroscopy), 11.3 and 9.6 km/s for Ti II and Fe I respectively (the layers closer to the surface). The macroturbulent velocities obtained by the method of correlation of line widths have approximating values for all the elements mentioned — about 27 km/s on the average. The temporal variations in microturbulent velocity are revealed (for 9 dates in October 1964 and September 1965) from the Fe II—lines —  $v_m$  vary from 14.4 to 19.0 km/s.

By the formula of Inglis—Teller and the method of Unsold the values of the electron density logarithm are found that are 11.7 and 12.3 respectively.

From a comparison of the observed profile and equivalent width of H<sub>γ</sub>-line with the theoretical ones the value of the logarithm of gravitational acceleration is determined (0.96) which yields to that obtained from the mass and radius of 6 Cas (1.24).

It is shown that some parameters of 6 Cas which characterize spectroscopic manifestation of atmospheric instability exceed those of the A-supergiants of lower luminosity.

Настоящая работа основывается главным образом на фотометрических параметрах линий, полученных нами ранее [1] по спектrogramмам сверхгиганта 6 Cas с дисперсией 4 и 14 Å/mm с помощью преобразователя «диаграмма—код» и электронной вычислительной машины. Кроме того, использованы результаты повторной обработки двух из четырех спектrogramм высокой дисперсии, проведенной по новой программе, реализующей следующие усовершенствования методики обработки: а) введение поправок за нелинейность преобразователя, значительно уменьшающих систематические ошибки [2], и б) интерполирование, позволяющее находить

полуширины линий с точностью до десятой доли шага квантования по оси длин волн [3].

*Скорости микро- и макротурбулентных движений ( $v_m$  и  $v_M$ ) в атмосфере 6 Cas находились с помощью кривых роста и кривых корреляции полуширин и эквивалентных ширин линий. В качестве теоретических использованы кривая роста Унзольда [4] и семейство кривых корреляции ширин линий ван ден Хевеля [5], построенные исходя из одних и тех же предпосылок (полуэмпирическая формула Миннаэрта), что позволяет уменьшить чисто методическое расхождение результатов.*

При построении кривых роста взята в качестве основной система сил осцилляторов, принятая в [6]. Для линий ионизованного железа использован также список сил осцилляторов из работы [7]. В обоих случаях кривые роста дают близкие значения  $v_m$ , различающиеся не более чем на 10–15%.

Для построения кривых корреляции наблюдаемые значения полуширин линий из табл. 2 в [1] были исправлены за инструментальное уширение. Инструментальная полуширина (0.18 Å), найденная по линиям спектра сравнения, в 3.5–5 раз меньше наблюдаемых полуширин.

Реализуя задачу, поставленную в [1], мы попытались прежде всего определить значения  $v_m$  и  $v_M$  на различных глубинах в атмосфере 6 Cas, характеризующие ее состояние в момент получения спектрограмм высокой дисперсии (17 и 18 августа 1969 г.; заметных изменений скоростей турбулентции между этими датами не произошло). Для этого  $v_m$  и  $v_M$  были найдены отдельно по линиям Fe II, Fe I, Ti II, Cr II и совместно по линиям Si II и Mg II. В каждой из пяти указанных групп линий использованы лишь линии, незначительно искаженные блендингом или совершенно свободные от бленд. Недостаток таких линий не позволил нам проследить за изменением турбулентных скоростей в зависимости от потенциала возбуждения внутри отдельных групп.

Образцы кривой роста и кривых корреляции ширин линий приведены на рис. 1 и 2.

ТАБЛИЦА 1

Турбулентная скорость и метод ее определения	Элементы и потенциалы возбуждения, эв				
	Si II, Mg II (6.8–10.0)	Fe II (2.6–2.8)	Cr II (3.1–4.1)	Ti II (1.1–1.6)	Fe I (0.1–1.8)
$v_m$ (км/сек.)	по кривым роста . . .	14.5 ± 2.0	15.4 ± 1.2	14.4 ± 1.7	11.0 ± 1.2
	по кривым корреляции ширин . . . . .	15.6 ± 2.5	14.3 ± 1.5	11 . . . . .	11.8 ± 2.0
	средние значения . . .	15.0 ± 2.2	14.8 ± 1.3	13.5 ± 1.7	11.4 ± 1.6
$v_M$ (км/сек.)	по кривым корреляции ширин . . . . .	26.8 ± 2.0	26.5 ± 2.0	27.5 : . . . . .	27.0 ± 2.0
					28.0 ± 2.0

В табл. 1 (в первой и второй строках) сопоставлены микротурбулентные скорости, определенные обоими методами, а также ошибки их определения (здесь и ниже даются случайные ошибки, оцененные по разбросу точек на соответствующих графиках). Несмотря на то что метод корреляции ширин линий не связан с использованием сил осцилляторов и позволяет поэтому привлекать для определения  $v_m$  большее количество линий, он дает по сравнению с методом кривых роста несколько менее точные результаты. Связано это, по-видимому, отчасти с самим существом метода (наклон «рабочей» части кривой слабо зависит от величины параметра  $v_M/v_m$ ), отчасти же с тем, что полуширины линий более чувствительны к блендингу, чем эквивалентные ширини. Последнее обстоятельство порождает,

в частности, характерный изгиб эмпирической кривой корреляции в сторону больших полуширин, придающий ей форму вытянутой по вертикали буквы *S*. Обычно этот изгиб приходится на интервал значений  $\lg(W_{\lambda}/\lambda \times 10^6)$  от 1.2 до 1.6, в котором частота блендинирования, по нашим данным, почти вдвое выше, чем в соседних интервалах.

Максимальное значение микротурбулентной скорости дают линии Si II, Mg II и Fe II, меньшее — линии Ti II, минимальное — линии Fe I. Такая же закономерность выявлена Розендалем и Вегнером [8] и Айдином [9] для 6 Cas и других сверхгигантов спектрального класса A.

Величина макротурбулентной скорости  $v_m$  (см. четвертую строку табл. 1) в пределах ошибок остается неизменной на разных глубинах в атмосфере. Среднее значение  $v_m$  равно 27 км/сек. Оно характеризует геометрическое уширение линий в спектре 6 Cas, которое, помимо макротурбулентции в атмосфере звезды, может быть вызвано также и другими причинами, в частности осевым вращением звезды. Оценить отно-

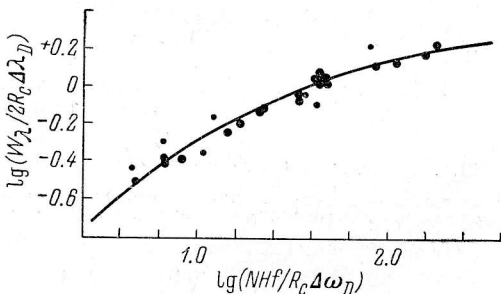


Рис. 1. Кривая роста по линиям Fe II мультиплетов 27, 28, 37, 38 (использованы силы осцилляторов по [7]), совмещенная с теоретической кривой из [4].

Большими точками показаны линии, свободные от бленд.

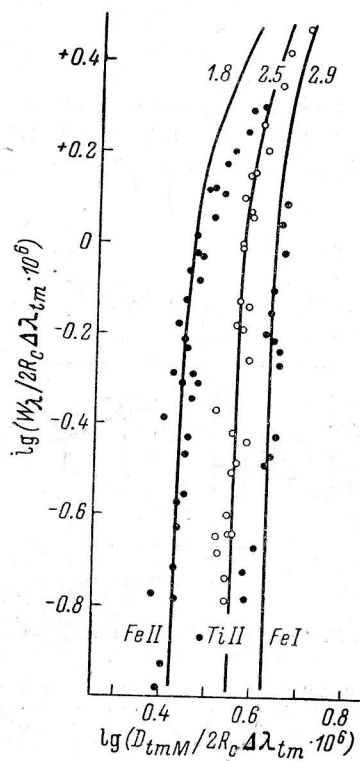


Рис. 2. Кривые корреляции ширин линий для Fe II, Ti II и Fe I, совмещенные с соответствующими ветвями семейства теоретических кривых из [5].

Цифры у верхних концов теоретических кривых — параметры  $v_M/v_m$ .

сительную роль указанных факторов для случая конкретной звезды довольно трудно, однако статистическое и звездноэволюционное рассмотрение этого вопроса (сделанное, например, в работе [12]) показывает, что для сверхгигантов класса A макротурбулентные скорости превосходят скорости вращения.

Для изучения изменений микротурбулентции со временем использованы эквивалентные ширины линий, измеренные по спектрограммам с дисперсией 14 Å/мм. Как видно из рис. 3 и 4, изменения от даты к дате  $v_m$ , найденных по кривым роста для линий Fe II, прослеживаются вполне уверенно, причем иногда значительные изменения  $v_m$  происходят всего за одни сутки. Максимальный перепад микротурбулентной скорости, зафиксированный в нашей работе (около 5 км/сек. по девяти датам наблюдений в октябре 1964 г. и сентябре 1965 г.), несколько меньше зафиксированного Розенда-

лем и Вегнером (9 км/сек., 12 дат, сентябрь—октябрь 1956 г. [8]) и Галкиной и Копыловым (6 км/сек., две даты, осень 1958 г. [13]).

Электронная плотность  $n_e$  в атмосфере 6 Cas оценена нами по номеру  $m$  последней наблюдаемой линии серии Бальмера (формула Инглиса—Теллера) и по эквивалентным ширинам линий  $H_\gamma$  и  $H_\delta$  (метод Унзольда, усовершенствованный Копыловым [14]).

Экстраполяцией зависимости центральной глубины  $R_0$  линии бальмеровской серии от ее номера найдено

$$m = 32 \pm 0.5.$$

При этом максимальное значение  $R_0$ , использованное в предыдущем разделе при определении турбулентных скоростей, составляет 0.63. Формула Инглиса—Теллера дает

$$\lg n_e(m) = 11.7,$$

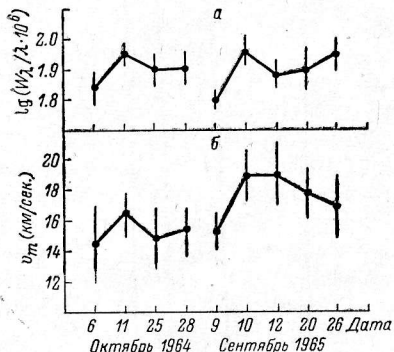


Рис. 3. Переменность линий Fe II в спектре 6 Cas.

а — средние значения эквивалентных ширин линий  $\lambda\lambda 4173, 4178, 4303, 4385, 4508, 4515, 4520$  и  $4555$  Å; б — микротурбулентные скорости. Вертикальные штрихи — ошибки наблюдений.

метод Унзольда

$$\lg n_e(H_\gamma, H_\delta) = 12.3.$$

Атмосфера 6 Cas заметно разреженнее атмосфер обычных сверхгигантов класса А: обе приведенные величины меньше средних значений  $\lg n_e$ , получаемых теми же методами для указанных звезд, и близки к величинам, полученным Пржибильским для сверх-сверхгиганта Большого Магеллана Облака HD 33579 [15].

Ускорение силы тяжести на поверхности 6 Cas определено двумя методами: 1) по массе и радиусу звезды ( $g_{\text{дин}}$ ) и 2) сопоставлением наблюдаемых и теоретических профилей и эквивалентных ширин водородных линий ( $g_{\text{эфф}}$ ).

1. Прежде всего мы попытались уточнить значения визуальной и болометрической абсолютных величин ( $M_v$  и  $M_{\text{bol}}$ ) и эффективной температуры ( $T_{\text{эфф}}$  и  $\theta_{\text{эфф}}$ ) 6 Cas, необходимые для определения ее массы и радиуса.

Зависимость между  $M_v$  и эквивалентными ширинами линий  $H_\gamma$  и  $H_\delta$  для сверхгигантов класса А, построенная по данным работ [6, 12, 15—22], дает для 6 Cas

$$M'_v = -8^m 60 \pm 0^m 20.$$

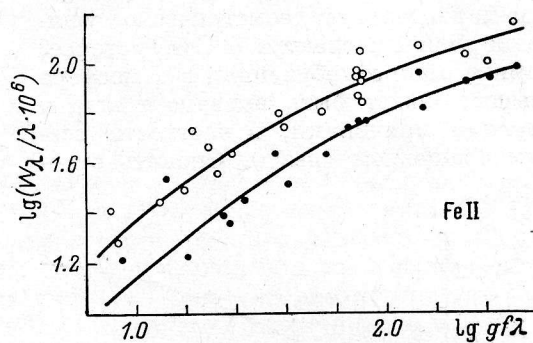


Рис. 4. Кривые роста по линиям Fe II.  
Черные точки — по наблюдениям 9 сентября, светлые точки — по наблюдениям 10 сентября 1965 г.

Аналогичным образом, по отношению эквивалентных ширин линий Fe II и Mg II, был найден спектральный класс, значение которого, A 2.5, совпадало с принятым для 6 Cas в [18].

Для уточнения  $M$ , мы использовали также то обстоятельство, что 6 Cas является членом ассоциации Cas OB 5. Видимые величины и цвета, спектральные классы и лучевые скорости 6 Cas и 17 других членов ассоциации, послуживших звездами сравнения, взяты нами из работ [23—27], а их абсолютные величины и собственные цвета — из [28, 29]. Приняв для 6 Cas модуль расстояния  $(m_0 - M) = 12^m 18$ , соответствующий максимуму функции распределения звезд сравнения по  $(m_0 - M)$ , мы получили

$$M'' = -8^m 50 \pm 0^m 20.$$

Имея в виду, что визуальный блеск 6 Cas меняется по Баппу [30] на  $0^m 1$ , мы приняли окончательно

$$M_v = -8^m 55 \pm 0^m 20$$

и после введения болометрической поправки по Джонсону [31] получили

$$M_{bol} = -8^m 67.$$

Значения  $\theta_{\text{эфф}}$ , соответствующие спектральному классу A 2.5 по шкалам эффективных температур Копылова [32], Михаласа [33], Джонсона [31] и Шильда, Петерсон и Ока [34], заключены в пределах от 0.56 до 0.57. Последняя и, по-видимому, наиболее надежная из указанных шкал дает

$$\theta_{\text{эфф}} = 0.565.$$

Процедура определения массы  $\mathfrak{M}$  звезды, принятая в нашей работе, несколько отличается от использованной в [18]: мы сопоставляли  $M_{bol}$  и  $\theta_{\text{эфф}}$  6 Cas непосредственно с эволюционными треками звезд в области диаграммы  $(\lg T_{\text{эфф}} - M_{bol})$ , занимаемой голубыми и белыми сверхгигантами. Использовано 13 треков, рассчитанных в последние годы для эволюционирующих моделей внутреннего строения звезд с массами от 9 до  $30 \mathfrak{M}_\odot$ , причем с наибольшим весом взяты результаты работ [35, 36], в которых рассчитаны модели, медленно проходящие область голубых сверхгигантов. При определении массы 6 Cas привлекалась также полученная в [37] зависимость болометрической светимости голубого сверхгиганта от его массы.

Радиус звезды  $R$  в единицах солнечного найден сопоставлением звездных и солнечных значений  $M_{bol}$  и  $T_{\text{эфф}}$ . Мы нашли, что

$$\mathfrak{M}(6 \text{ Cas})/\mathfrak{M}_\odot = 25 \pm 2,$$

$$R(6 \text{ Cas}/R_\odot = 200 \pm 20.$$

Отсюда

$$\lg g_{\text{дис}} = 1.24 \pm 0.05.$$

2. Профили и эквивалентные ширины водородных линий, использовавшиеся для сопоставления с наблюдаемыми, получены нами следующим образом. За основу были взяты профили линии H $\gamma$ , вычисленные Петерсон и Стромом [38] для моделей звездных атмосфер с параметрами:  $T_{\text{эфф}} \geq 10000^\circ$  и  $\lg g \geq 2$ . В [38] при расчете коэффициента поглощения в линии вместо теории Гrima, несколько переоценивающей штарковское уширение, использована полуэмпирическая теория Эдмондса, Шлютера и Уэллса [39], не страдающая, по свидетельству ряда авторов, указанным недостат-

ком. Сопоставление профилей из работ [38] и [40] позволило найти поправки, путем введения которых удалось распространить результаты вычислений Петерсон и Строма на более широкий интервал эффективных температур и ускорений силы тяжести, включающий найденное выше значение  $\theta_{\text{эфф}}$  и искомое значение  $g_{\text{эфф}}$  для 6 Cas.

Как видно из рис. 5 и 6, эти поправки сужают теоретические профили и уменьшают эквивалентные ширины водородных линий, что приводит

к увеличению находимых по ним значений  $\lg g_{\text{эфф}}$  на 0.20—0.25, — именно настолько возросло значение  $\lg g_{\text{эфф}}$ , полученное в нашей работе, по сравнению с его предварительной оценкой, сделанной в [1]; такое же увеличение отмечается и в [41].

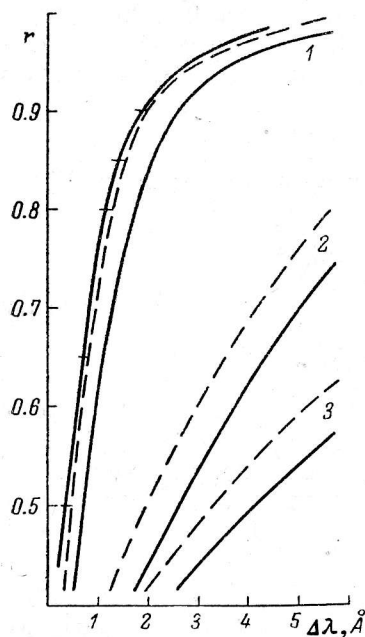


Рис. 5. Профили линии  $H_{\gamma}$ : наблюдаемый в спектре 6 Cas (жирная линия; горизонтальные штрихи — ошибки наблюдений) и рассчитанные для  $\theta_{\text{эфф}}=0.565$  в указанных у концов линий значений  $\lg g$  на основе теории Грима (сплошные линии) и данных работ [39] (штриховые линии).  $\Delta\lambda$  — расстояние от центра линии.

2 и 1, причем профиль для  $\lg g=1$  уширен с помощью функции влияния, имитирующей вращение звезды (значение  $V_R \cdot \sin i = 35$  км/сек. взято из [13]).

Незначительная экстраполяция зависимости ширин линий  $H_{\gamma}$  на различных глубинах, а также ее эквивалентной ширины от ускорения силы тяжести дает

$$\lg g(\Delta\lambda) = 0.97 \pm 0.03$$

и

$$\lg g(W\lambda) = 0.92 \pm 0.04.$$

Предпочтение следует отдать первому способу определения  $\lg g$ , поскольку использование ширин позволяет исключить влияние эмиссии, нередко искажающей центральные части профилей водородных линий в спектрах сверхгигантов максимальной светимости, тогда как в случае

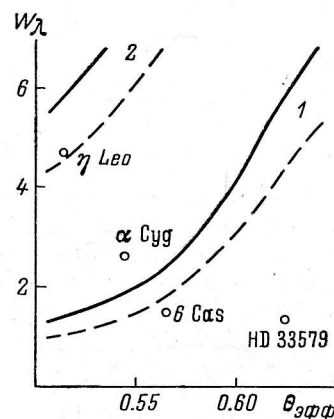


Рис. 6. Зависимости  $W_{\lambda}$  линии  $H_{\gamma}$  от  $\theta_{\text{эфф}}$  для  $\lg g = 1$  и 2.

Обозначения кривых те же, что и на рис. 5. Точки — наблюдаемые  $W_{\lambda}$  для сверхгигантов  $\eta$  Leo,  $\alpha$  Cyg, 6 Cas и HD 33579.

Интерполяцией были получены теоретические профили и эквивалентные ширины линии  $H_{\gamma}$ , соответствующие  $\theta_{\text{эфф}}=0.565$ , для трех значений  $\lg g : 3$ ,

использования эквивалентных ширин учесть указанное влияние очень трудно. Имея это в виду, мы приняли в качестве среднего значения

$$\lg g_{\text{эфф}} = 0.96 \pm 0.03.$$

Таким образом, эффективная, или «спектроскопическая», величина ускорения силы тяжести оказывается для 6 Cas заметно меньше его «динамической» величины

$$\lg g_{\text{дин}} - \lg g_{\text{эфф}} = \pm 0.28 \pm 0.07.$$

Интересно в связи с этим отметить, что после введения поправок, соответствующих переходу от теории Грима к данным работы [39], найденная в [18] разность между  $g_{\text{дин}}$  и  $g_{\text{эфф}}$  для большинства исследованных звезд практически исчезает: средние значения величины ( $\lg g_{\text{дин}} - \lg g_{\text{эфф}}$ ) становятся равными  $-0.01$  для сверхгигантов классов светимости Ib и Iab и  $+0.06$  для сверхгигантов Ia. Эта величина остается довольно значительной ( $+0.24$ ) лишь для сверхгиганта  $\beta$  Ori, близкого к 6 Cas по балометрической светимости. Отметим также, что для упомянутой выше звезды HD 33579 ( $M_{\text{bol}} = -9.6$ ) произведенная нами оценка дает ( $\lg g_{\text{дин}} - \lg g_{\text{эфф}}$ )  $\geq +0.45$ .

*Спектроскопические проявления нестационарности атмосферы 6 Cas* весьма разнообразны. Количественные характеристики различных проявлений даны в табл. 2 для 6 Cas (по нашим данным и данным работ [8, 9]) в сравнении с их средними значениями для сверхгигантов A0—A3, собранными из работ [9, 11, 42, 43]. Помимо величины микротурбулентной скорости и амплитуды ее временных изменений (3-й и 4-й столбцы табл. 2), амплитуды изменений лучевой скорости величины дифференциальных сдвигов линий и «балльмеровского хода»

ТАБЛИЦА 2

Сверхгиганты A0—A3, класс светимости	$M_{\text{bol}}$	$v_m$ , км/сек.	$\Delta v_m$ , км/сек.	$\Delta V_r$ , км/сек.	$\frac{V_r(\text{Si II}, \text{Mg II})}{V_r(\text{Fe I})} - 1$ , км/сек.	$\frac{V_r(\text{H}_{10}) - V_r(\text{H}_\beta)}{V_r(\text{H}_\beta)}$ , км/сек.	$\lg g_{\text{дин}} - \lg g_{\text{эфф}}$
Ib	$-6.0$	5—7		2—4	2—3	1—3	$-0.01$
Ia	$-7.6$	9—13		5—12	3—6	8—12	$+0.06$
6 Cas, Ia <sup>+</sup>	$-8.7$	15—16	9	19	16	20	$+0.28$

(Balmer progression) (5-й, 6-й и 7-й столбцы соответственно) признаком нестационарности атмосферы может служить величина превышения «динамического» ускорения силы тяжести над «спектроскопическим» (8-й столбец табл. 2).

Звезда 6 Cas, будучи, по-видимому, одной из наиболее ярких звезд Галактики, особенно наглядно выявляет возрастание всех перечисленных характеристик сверхгигантов со светимостью.

Авторы благодарны И. М. Копылову за неоднократное обсуждение работы в ходе ее выполнения.

#### Л и т е р а т у р а

- Г. И. Аббасов, С. К. Зейналов, Е. Л. Ченцов, Астрофиз. исслед. (Изв. САО), 4, 81, 1972.
- Г. И. Аббасов, наст. сборник, стр. 175.
- Г. И. Аббасов, в сб. «Новая техника в астрономии», вып. 4, 1972.
- A. Unsöld. Physik der Sternatmosphären. 2. Auflage, Springer—Verlag, Berlin—Heidelberg—New York, 1968, s. 416.

5. E. P. J. van den Heuvel, Bull. Astron. Inst. Neth., **17**, No. 2, 148, 1963.
6. С. К. Зейналов, Изв. Крымск. астрофиз. обс., **37**, 191, 1967.
7. М. Е. Боярчук, Н. Ф. Войханская, Изв. Крымск. астрофиз. обс., **41—42**, 342, 1970.
8. J. D. Rosendhal, G. Wegener, Astrophys. J., **162**, No. 2, 547, 1970.
9. C. Aydin, Astron. Astrophys., **19**, 369, 1972.
10. C. de Jager, L. Neven, Bull. Astron. Inst. Neth. Suppl., **2**, 125, 1967.
11. J. D. Rosendhal, Astrophys. J., **160**, No. 2, 627, 1970.
12. J. D. Rosendhal, Astrophys. J., **159**, No. 1, 107, 1970.
13. Т. С. Галкина, И. М. Конылов, Изв. Крымск. астрофиз. обс., **28**, 35, 1962.
14. И. М. Конылов, Изв. Крымск. астрофиз. обс., **35**, 11, 1966.
15. A. Przybylski, Monthly Notices Roy. Astron. Soc., **139**, No. 3, 313, 1968.
16. И. М. Конылов, Изв. Крымск. астрофиз. обс., **22**, 189, 1960.
17. И. М. Конылов, Изв. Крымск. астрофиз. обс., **23**, 148, 1960.
18. И. М. Конылов, Астрофиз. исслед. (Изв. CAO), **2**, 42, 1970.
19. W. Buscombe, Monthly Notices Roy. Astron. Soc., **144**, No. 1, 31, 1969.
20. W. Buscombe, Monthly Notices Roy. Astron. Soc., **148**, No. 1, 79, 1970.
21. B. Wolf, Astron. Astrophys., **10**, No. 3, 383, 1971.
22. I. Zverko, Bull. Astron. Inst. Czech., **22**, No. 1, 49, 1971.
23. W. A. Hilton, Astrophys. J. Suppl., **2**, 389, 1956.
24. И. М. Конылов, Астрон. ж., **35**, № 3, 390, 1958.
25. R. Amperl, Acta Astron., **14**, No. 1, 52, 1964.
26. M. Bonneau, J. Obs., **50**, fasc. 3, 237, 1967.
27. R. M. Humphreys, Astron. J., **75**, No. 5, 602, 1970.
28. A. Blaauw, in: Stars and Stellar Systems. Vol. 3. The University of Chicago Press, Chicago and London, 1963, p. 383.
29. M. P. Fitzgerald, Astron. Astrophys., **4**, 234, 1970.
30. M. K. V. Barpu, Observatory, **79**, No. 940, 100, 1959.
31. H. L. Johnson, Ann. Rev. Astron. Astrophys., **4**, 193, 1966.
32. И. М. Конылов, Изв. Крымск. астрофиз. обс., **30**, 69, 1963.
33. D. Mihalas, Astrophys. J. Suppl., **13**, No. 114, 1966.
34. R. Shild, D. M. Peterson, J. B. Oke, Astrophys. J., **166**, No. 1, 95, 1971.
35. C. Chiosi, C. Snumma, Astrophys. Space Sci., **8**, No. 3, 478, 1970.
36. E. E. Simpson, Astrophys. J., **165**, No. 2, 295, 1971.
37. R. Stothers, Astrophys. J., **155**, No. 3, 935, 1969.
38. D. Peterson, S. E. Strom, Astrophys. J., **157**, No. 3, 1341, 1969.
39. F. N. Edmonds, H. Schlueter, D. C. Wells, Mem. Roy. Astron. Soc., **71**, 271, 1967.
40. D. Mihalas, Astrophys. J. Suppl., **9**, No. 92, 321, 1965.
41. E. C. Olson, Astrophys. J., **153**, No. 1, 187, 1968.
42. H. A. Abt, Astrophys. J., **126**, No. 1, 138, 1957.
43. E. L. Chentsov, L. I. Senezhko, Proceedings of Symposium on Supergiants Trieste, 1971.

Январь 1972 г.